

# Algoritmos de segmentação por corte em grafo generalizado

Prof. Dr. Paulo A. V. de Miranda  
Instituto de Matemática e Estatística (IME),  
Universidade de São Paulo (USP)  
[pmiranda@vision.ime.usp.br](mailto:pmiranda@vision.ime.usp.br)

## Corte em grafo generalizado

Considere um grafo ponderado  $G = \langle V, E, w \rangle$  derivado de uma imagem  $\hat{I}$ , onde os pesos  $w(c, d)$  entre pixels vizinhos são projetados para ter valores elevados nas transições das bordas do objeto de interesse (e.g.,  $w(c, d) = |I(c) - I(d)|$ ).

# Corte em grafo generalizado

- ▶ Para cada grafo  $G = \langle V, E, w \rangle$ , considere o espaço  $\tilde{\mathcal{X}}$  de todas as funções  $x: V \rightarrow [0, 1]$ , referido como *subconjuntos fuzzy* de  $V$ , com o valor  $x(c)$  indicando um grau de pertinência com o qual  $c$  pertence ao conjunto.
- ▶ A família  $\mathcal{X}$  de todas as funções  $x \in \tilde{\mathcal{X}}$  com os valores permitidos somente de 0 e 1 (i.e.,  $x: V \rightarrow \{0, 1\}$ ) será referida como a família de todos *subconjuntos hard* de  $V$ .
- ▶ Cada  $x \in \mathcal{X}$  é identificado com o subconjunto  $P = \{c \in V: x(c) = 1\}$  de  $V$ . Note que, em tal caso,  $x$  é a *função característica*  $\chi_P$  de  $P \subset V$ .

# Corte em grafo generalizado

- ▶ Nós geralmente restringimos a coleção  $\mathcal{X}$  de todos os objetos permitidos através de dois conjuntos disjuntos, referidos como *sementes*:  $\mathcal{S}_{obj} \subset V$  indicando o objeto e  $\mathcal{S}_{bkg} \subset V$  indicando o fundo.
- ▶ Isto restringe o conjunto de saídas admissíveis dos algoritmos para a família  $\mathcal{X}(\mathcal{S}_{obj}, \mathcal{S}_{bkg})$  de todos  $x \in \mathcal{X}$  com  $x(s) = 1$  para todo  $s \in \mathcal{S}_{obj}$ , e  $x(t) = 0$  para todo  $t \in \mathcal{S}_{bkg}$ .
- ▶ Note que  $\mathcal{X}(\mathcal{S}_{obj}, \mathcal{S}_{bkg}) = \{\chi_P : \mathcal{S}_{obj} \subset P \subset V \setminus \mathcal{S}_{bkg}\}$ .

## Corte em grafo generalizado

Para  $q \in [1, \infty]$  considere o funcional de energia  $\varepsilon_q: \tilde{\mathcal{X}} \rightarrow [0, \infty)$ , onde, para cada  $x \in \tilde{\mathcal{X}}$ ,  $\varepsilon_q(x)$  é definido como a  $q$ -norma do funcional  $F_x: E \rightarrow \mathbb{R}$ , dado pela fórmula  
 $F_x(c, d) = \bar{w}(c, d)|x(c) - x(d)|$  para  $\langle c, d \rangle \in E$ . Isto é,

$$\varepsilon_\infty(x) = \|F_x\|_\infty = \max_{\langle c, d \rangle \in E} \bar{w}(c, d)|x(c) - x(d)|,$$

$$\varepsilon_q(x) = \|F_x\|_q = \sqrt[q]{\sum_{\langle c, d \rangle \in E} (\bar{w}(c, d)|x(c) - x(d)|)^q}$$

para  $q < \infty$ , onde  $\bar{w}(c, d) = K - w(c, d)$ .

Note que  $\lim_{q \rightarrow \infty} \varepsilon_q(x) = \varepsilon_\infty(x)$ , visto que  $q$ -norma converge, quando  $q \rightarrow \infty$ , para a  $\infty$ -norma.

# Corte em grafo generalizado

- ▶ Seja  $\varepsilon_{\min}^q$  o mínimo da energia  $\varepsilon_q(x)$  sobre todos os objetos permitidos  $x \in \mathcal{X}(\mathcal{S}_{obj}, \mathcal{S}_{bkg})$ , isto é,  
$$\varepsilon_{\min}^q = \min\{\varepsilon_q(x) : x \in \mathcal{X}(\mathcal{S}_{obj}, \mathcal{S}_{bkg})\}.$$
- ▶ Qualquer elemento de  
$$\mathcal{X}_q(\mathcal{S}_{obj}, \mathcal{S}_{bkg}) = \{x \in \mathcal{X}(\mathcal{S}_{obj}, \mathcal{S}_{bkg}) : \varepsilon_q(x) = \varepsilon_{\min}^q\}$$
 será referido como uma solução ótima da energia  $\varepsilon_q$  em  $\mathcal{X}(\mathcal{S}_{obj}, \mathcal{S}_{bkg})$ .
- ▶ Qualquer algoritmo  $A$  que, dada uma imagem  $\hat{I}$  e conjuntos de sementes  $\mathcal{S}_{obj}$  e  $\mathcal{S}_{bkg}$ , retorna um objeto, denotado por  $A(\hat{I}, \mathcal{S}_{obj}, \mathcal{S}_{bkg})$ , de  $\mathcal{X}_q(\mathcal{S}_{obj}, \mathcal{S}_{bkg})$  será referido como um *algoritmo de  $\varepsilon_q$ -minimização*.

## Corte em grafo generalizado

- ▶ Note que o algoritmo padrão de *fluxo máximo/corte mínimo* é um algoritmo de  $\varepsilon_1$ -minimização. Vamos usar um símbolo  $GC_{\text{sum}}$  para denotar este algoritmo.
- ▶ Os métodos *Relative Fuzzy Connectedness (RFC)*, *Iterative Relative Fuzzy Connectedness (IRFC)*, Floresta de Espalhamento Mínima, e alguns casos de Floresta de Caminhos Ótimos são todos algoritmos de  $\varepsilon_\infty$ -minimização. Todos esses métodos podem ser obtidos via a Transformada Imagem-Floresta (IFT).

## Métodos via Transformada Imagem-Floresta (IFT)

Por simplicidade, vamos considerar o problema equivalente dual dado pela **maximização** da energia abaixo:

$$\varepsilon_{\infty}^-(x) = \min_{\langle c, d \rangle \in E | x(c) \neq x(d)} w(c, d),$$

## Métodos via Transformada Imagem-Floresta (IFT)

As funções de conexidade são especificadas por uma regra de inicialização e uma regra de extensão de caminho.

$$f_{sum}(\langle t \rangle) = \begin{cases} 0 & \text{se } t \in \mathcal{S} = \mathcal{S}_{obj} \cup \mathcal{S}_{bkg} \\ +\infty & \text{caso contrário} \end{cases}$$

$$f_{sum}(\pi_s \cdot \langle s, t \rangle) = f_{sum}(\pi_s) + w^\beta(s, t)$$

$$f_{max}(\langle t \rangle) = \begin{cases} -1 & \text{se } t \in \mathcal{S} = \mathcal{S}_{obj} \cup \mathcal{S}_{bkg} \\ +\infty & \text{caso contrário} \end{cases}$$

$$f_{max}(\pi_s \cdot \langle s, t \rangle) = \max\{f_{max}(\pi_s), w(s, t)\}$$

## Métodos via Transformada Imagem-Floresta (IFT)

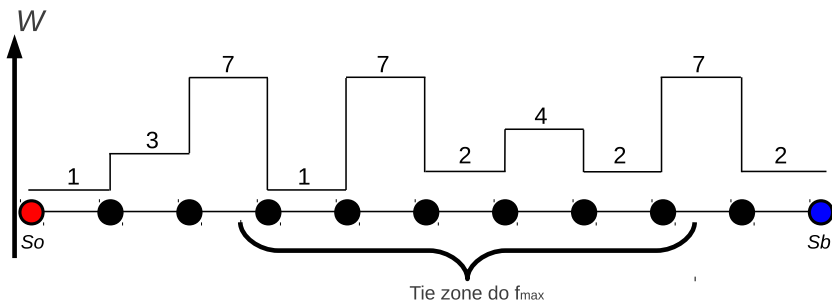
$$f_w(\langle t \rangle) = \begin{cases} -1 & \text{se } t \in \mathcal{S} = \mathcal{S}_{obj} \cup \mathcal{S}_{bkg} \\ +\infty & \text{caso contrário} \end{cases}$$
$$f_w(\pi_s \cdot \langle s, t \rangle) = w(s, t)$$

$$f_{IRFC}(\langle t \rangle) = \begin{cases} -1 & \text{se } t \in \mathcal{S} = \mathcal{S}_{obj} \cup \mathcal{S}_{bkg} \\ +\infty & \text{caso contrário} \end{cases}$$
$$f_{IRFC}(\pi_s \cdot \langle s, t \rangle) = \begin{cases} \max\{f_{IRFC}(\pi_s), 2 \times w(s, t) + 1\} & \text{se } R(s) \in \mathcal{S}_{obj} \\ \max\{f_{IRFC}(\pi_s), 2 \times w(s, t)\} & \text{se } R(s) \in \mathcal{S}_{bkg} \end{cases}$$

onde  $R(s) = org(\pi_s)$ .

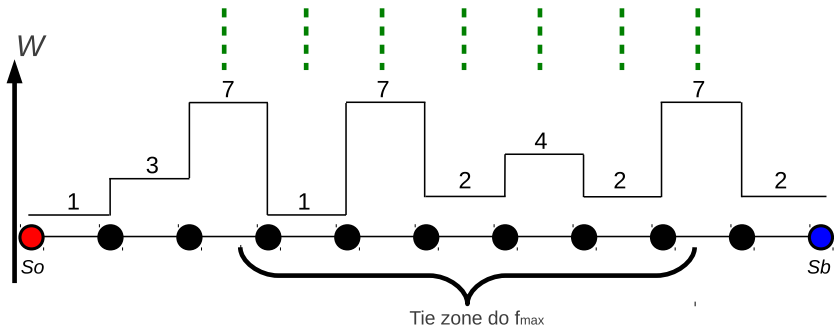
# Métodos via Transformada Imagem-Floresta (IFT)

Exemplo:



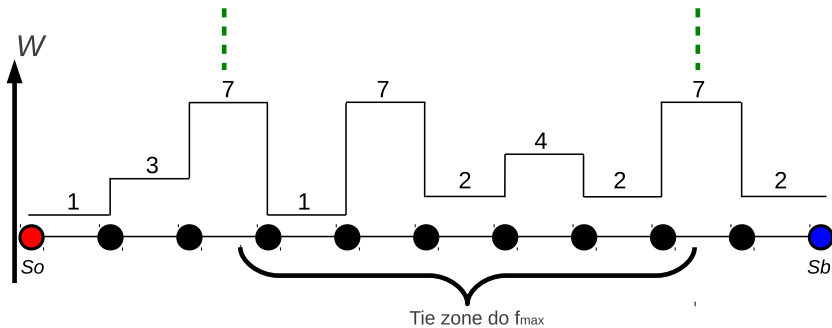
# Métodos via Transformada Imagem-Floresta (IFT)

Possíveis bordas de corte da IFT com  $f_{\max}$ :



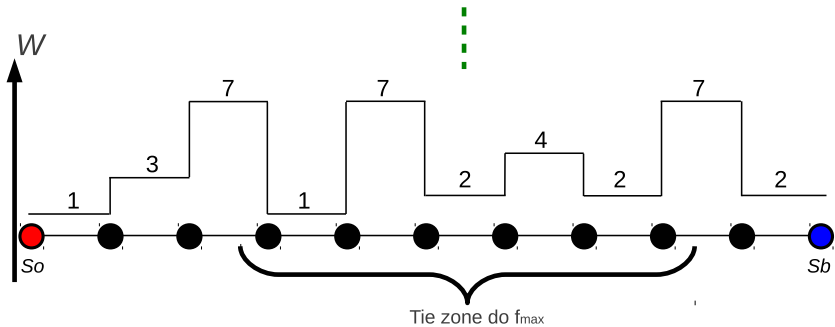
# Métodos via Transformada Imagem-Floresta (IFT)

Possíveis bordas de corte da IFT com  $f_{\max}$  (desempate LIFO):



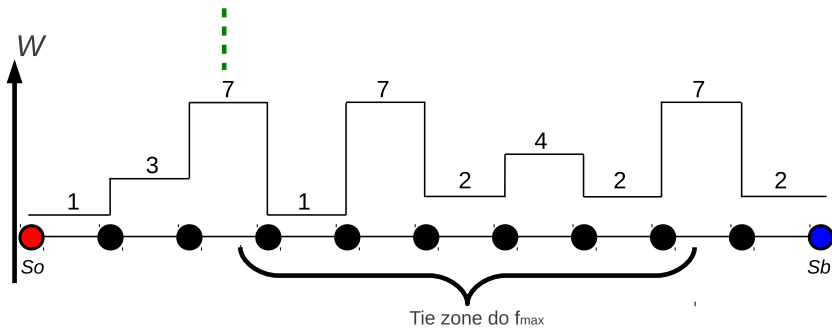
# Métodos via Transformada Imagem-Floresta (IFT)

Possíveis bordas de corte da IFT com  $f_{\max}$  (desempate FIFO):



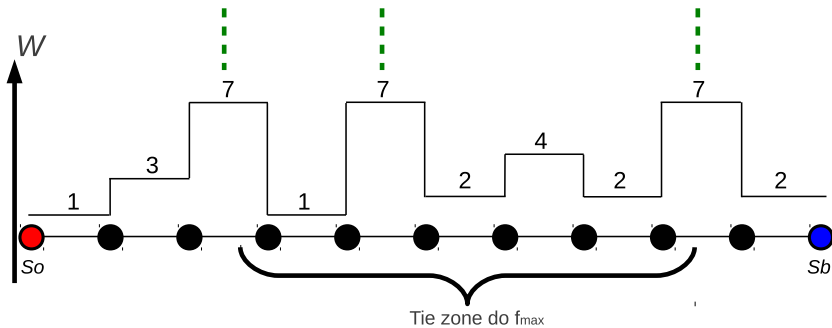
# Métodos via Transformada Imagem-Floresta (IFT)

Possíveis bordas de corte da IFT com  $f_{IRFC}$ :



# Métodos via Transformada Imagem-Floresta (IFT)

Possíveis bordas de corte da IFT com  $f_w$ :



## Relative-fuzzy connectedness (RFC)

Dois mapas de conexidade separados são calculados:

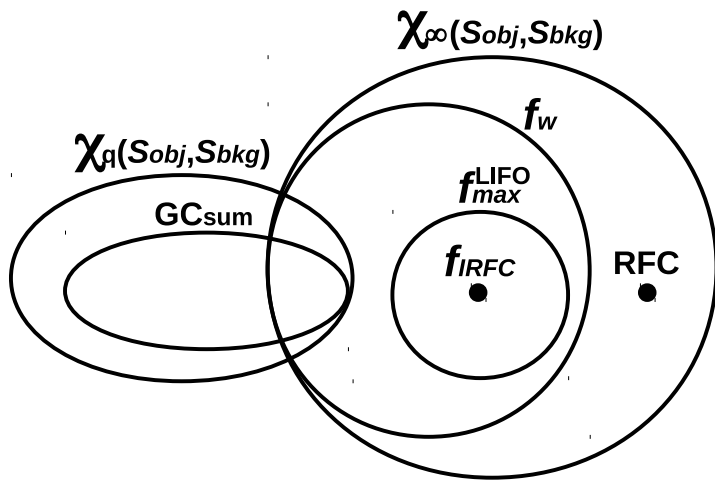
- ▶  $V_o(q)$  que leva em conta apenas as sementes em  $\mathcal{S}_{obj}$ .
- ▶  $V_b(q)$  que leva em conta apenas as sementes em  $\mathcal{S}_{bkg}$ .

$$V_o(q) = \min_{\forall \pi_q \text{ in } (V, E) | \text{org}(\pi_q) \in \mathcal{S}_{obj}} \{f_{max}(\pi_q)\}, \quad (1)$$

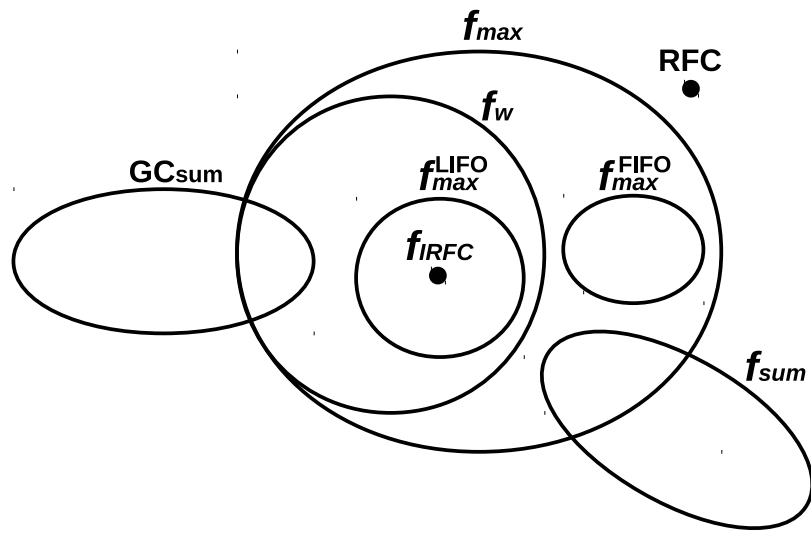
$$V_b(q) = \min_{\forall \pi_q \text{ in } (V, E) | \text{org}(\pi_q) \in \mathcal{S}_{bkg}} \{f_{max}(\pi_q)\}. \quad (2)$$

A segmentação final é obtida por comparação dos dois mapas de conexidade  $V_o(q)$  e  $V_b(q)$ , tal que cada pixel  $q \in V$  é rotulado como sendo do objeto somente se  $V_o(q) < V_b(q)$ .

# Diagrama das relações entre métodos



# Diagrama das relações entre métodos



# Métodos via Transformada Imagem-Floresta (IFT)



(a)  $RFC$



(b)  $IRFC$



(c)  $IFT_{f_{max}}$

# Métodos via Transformada Imagem-Floresta (IFT)

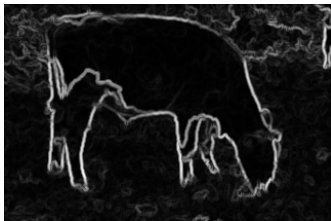


Imagen de pesos e o resultado usando  $f_{max}(\pi)$ .

# Métodos via Transformada Imagem-Floresta (IFT)

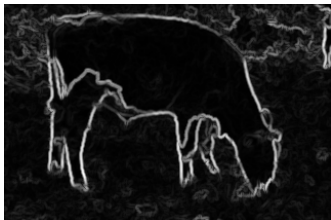


Imagen de pesos e o resultado usando  $f_{sum}(\pi)$  ( $\beta$  pequeno).

# Métodos via Transformada Imagem-Floresta (IFT)

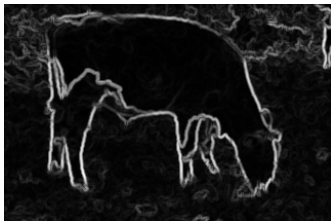


Imagen de pesos e o resultado usando  $f_{sum}(\pi)$  ( $\beta$  elevado).

# Bibliografia

- ▶ *P.A.V. Miranda, and A.X. Falcão,*  
**Elucidating the relations among seeded image segmentation methods and their possible extensions,**  
Sibgrapi 2011 (XXIV Conference on Graphics, Patterns and Images),  
Maceió, AL, Brazil, pp. 289-296, 2011.  
<http://ieeexplore.ieee.org/xpl/articleDetails.jsp?arnumber=6134744>
- ▶ *Krzysztof Chris Ciesielski, J.K. Udupa, A.X. Falcão, and P.A.V. Miranda,*  
**Fuzzy Connectedness image segmentation in Graph Cut formulation: A linear-time algorithm and a comparative analysis,**  
Journal of Mathematical Imaging and Vision, vol. 44, no. 3, 2012.  
<http://www.springerlink.com/content/f443573w41785464/?MUD=MP>